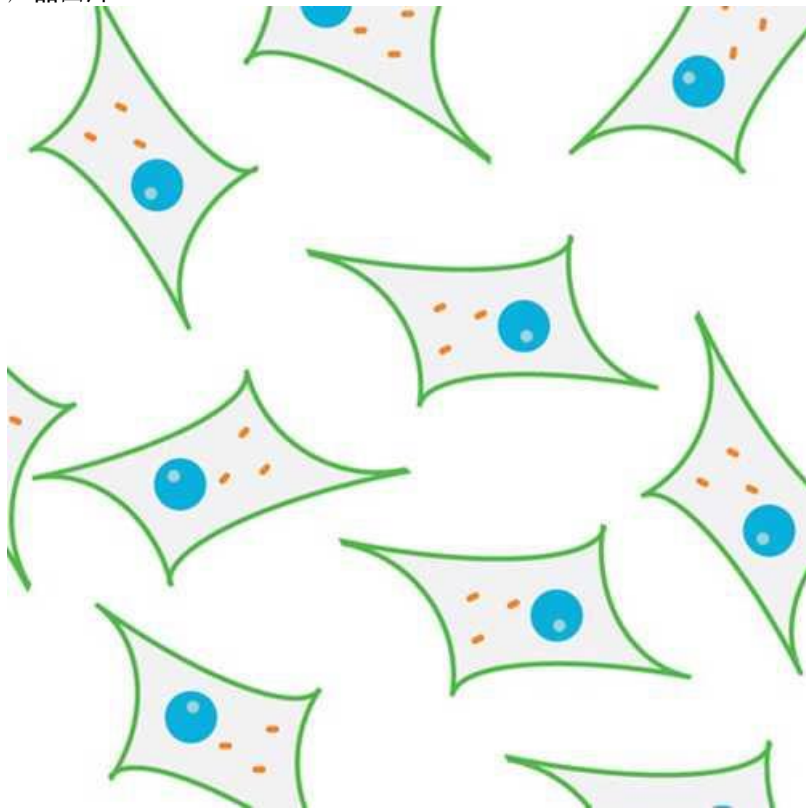


鼠骨细胞样细胞系MLO-Y4

[下载为PDF](#)

- 5 次围观

产品图片



产品英文名称

[Murine Osteocyte-like Cell Line MLO-Y4](#)

产品别名

[Kerafast独特的生物试剂](#)

货号/SKU

EKC002

货号/规格

1 vial

库存与交货期

Unavailable

人民币价格

16285

人民币价格说明

本商品人民币2024年销售价格正在调整中，请等待更新完毕。

本商品的展示的人民币价格已包含商品本身金额、VAT增值税13%、国际运输运费、国内物流运费、运输保险、以及冷链包装材料（例如液氮罐、泡沫箱、金属桶、蓝冰、湿冰、干冰、蓄冷剂、液氮等）、装卸费、相关资料费、人力支出等一切费用。

本商品的美元价、市场价、零售价、厂商指导价或该商品的曾经展示过的销售价等，并非商品原价，仅供参考。

试剂海关审批

使用人负责A/B风险申请资质

国外采购

支持/部分需签MTA

厂牌

Kerafast, Inc.

品牌

[Kerafast®](#)

产品基础信息

From the laboratory of Lynda Bonewald, PhD, University of Missouri - Kansas City.

产品描述信息

Product Type:

Cell Line

Name: MLO-Y4
Cell Type: Osteocyte

Organism: Mouse (female)
Accession ID: CVCL_M098
Morphology: Dendritic morphology
Biosafety Level: I

Subculturing: Maintain stock cultures in complete culture medium at ~60-75% confluence on collagen coated plates at 37°C and at 5% CO₂. Passage at ~ 1:5 dilution (~1:7 maximum) using 0.05% Trypsin/0.53 mM EDTA every 3-4 days (see Rosser J. et al. Methods Mol Biol. 2012;816:67-81)

Growth Conditions: alpha-MEM, containing L-glutamine and deoxyribonucleosides, with penicillin/streptomycin at 100 U/ml and 2.5% FBS and 2.5% CS; both heat inactivated; Grown on dishes coated with [0.15 mg/ml] rat tail type 1 collagen (see Rosser J. et al. Methods Mol Biol. 2012;816:67-81).

Cryopreservation: 60% alpha-MEM, 30% FBS, 10% DMSO, at 1 × 10⁶ cells/ml/cryovial (see Rosser J. et al. Methods Mol Biol. 2012;816:67-81)

Comments: When first starting these cells, centrifuge at approx. 1,000 rpm, for 5–10 min. Aspirate media, gently resuspend and plate the cell pellet in media containing 5% FBS and 5% CS. This higher amount of serum, 10% total, is useful to give the cells an extra boost. The next day, check the viability of the cells. If there are a lot of floating “dead” cells, change the medium. You can revert back to medium with 2.5% FBS + 2.5% CS at this point.

Storage: Liquid nitrogen
Shipped: Dry ice

产品安全信息

Kato Y, Windle J, Koop B, Qiao M, Bonewald L. Establishment of an osteocyte-like cell line, MLO-Y4 J Bone Min. Res. 12:2014-2023, 1997. Kato, Y, Boskey, A, Spevak, L, Dallas, M, Hori, M, Bonewald, LF, Establishment of an Osteoid Pre-Osteocyte like cell, MLO-A5, that spontaneously mineralizes in culture without the addition of beta-glycerol phosphate and ascorbic acid. J. Bone Min. Res. 16:1622-1633, 2001. Rosser J, Bonewald LF. Studying osteocyte function using the cell lines MLO-Y4 and MLO-A5. Methods Mol Biol. 2012;816:67-81. Sun Y, Kaur K, Kanayama K, Morinaga K, Park S, Hokugo A, Kozlowska A, McBride WH, Li J, Jewett A, Nishimura I. Plasticity of Myeloid Cells during Oral Barrier Wound Healing and the Development of Bisphosphonate-Related Osteonecrosis of the Jaw. J Biol Chem. 2016 Aug 11. pii: jbc.M116.735795. View Article Wang T, Han C, Tian P, Li PF, Ma XL. Role of Teriparatide in Glucocorticoid-induced Osteoporosis through Regulating Cellular Reactive Oxygen Species. Orthop Surg. 2018 May 10. View Article Kim HJ, Kim HJ, Choi Y, Bae MK, Hwang DS, Shin SH, Lee JY. Zoledronate Enhances Osteocyte-Mediated Osteoclast Differentiation by IL-6/RANKL Axis. Int J Mol Sci. 2019 Mar 22;20(6). pii: E1467. View Article Yamamoto H, Saito M, Goto T, Ueshima K, Ishida M, Hayashi S, Ikoma K, Mazda O, Kubo T. Heme oxygenase-1 prevents glucocorticoid and hypoxia-induced apoptosis and necrosis of osteocyte-like cells. Med Mol Morphol. 2019 Jan 31. View Article Parmentier L, Riffault M, Hoey DA. Utilizing Osteocyte Derived Factors to Enhance Cell Viability and Osteogenic Matrix Deposition within IPN Hydrogels. Materials (Basel). 2020;13(7):1690. Published 2020 Apr 4. View article Ueda S, Shimasaki M, Ichiseki T, Hirata H, Kawahara N, Ueda Y. Mitochondrial Transcription Factor A added to Osteocytes in a Stressed Environment has a Cytoprotective Effect. Int J Med Sci. 2020;17(9):1293-1299. Published 2020 May 23. View article Eichholz KF, Woods I, Riffault M, et al. Human bone marrow stem/stromal cell osteogenesis is regulated via mechanically activated osteocyte-derived extracellular vesicles [published online ahead of print, 2020 Jul 16]. Stem Cells Transl Med. 2020;10.1002/sctm.19-0405. View article Hirata H, Ueda S, Ichiseki T, Shimasaki M, Ueda Y, Kaneuji A, Kawahara N. Taurine Inhibits Glucocorticoid-Induced Bone Mitochondrial Injury, Preventing Osteonecrosis in Rabbits and Cultured Osteocytes. Int J Mol Sci. 2020 Sep 20;21(18):E6892. View article Wang Z, Weng Y, Ishihara Y, Odagaki N, Ei Hsu Hlaing E, Izawa T, Okamura H, Kamioka H. Loading history changes the morphology and compressive force-induced expression of receptor activator of nuclear factor kappa B ligand/osteoprotegerin in MLO-Y4 osteocytes. PeerJ. 2020 Nov 9;8:e10244. View article If you publish research with this product, please let us know so we can cite your paper.

主要内容

MLO-Y4细胞系可用于研究流体流动和基板在骨细胞特异性信号传导途径的活化上的影响。高灯：从转基因小鼠衍生，其中在骨科蛋白启动子高表达的控制下表达了永生化的T-抗原的骨钙素高表达Connexin 43和抗原E11保留了树突状形态，类似于原发性骨细胞中观察到的是身体中最丰富的骨细胞，也是最具挑战性的研究，因为它们嵌入了矿化基质中，使它们变得困难孤立。该细胞系MLO-Y4使得研究骨细胞功能更容易。通过Lynda Bonewald，密苏里大学博士博

士的实验室， - 堪萨斯城。部分调查员的附件计划。
厂牌介绍

关于Kerafast Inc.

Kerafast 是一家位于波士顿的试剂公司，其主要使命是为QuanQiu科学界提供易于使用的独特实验室研究工具。我们的产品组合包括细胞系、抗体、小分子、染料等，其中许多在其他地方无法获得。自 2011 年成立以来，来自[全球 190 多个机构](#)的研究人员通过我们的在线平台提供了他们的创新试剂，无需通过传统的材料转让协议流程即可快速获取材料。

我们处理提供实验室的所有销售和运输物流，并从每次销售中返还丰厚的特许权使用费。因此，我们帮助提供实验室节省时间和资源，同时为进一步研究提供额外资金。采购科学家可以更轻松地发现和获取其他地方通常无法获得的独特试剂，同时还可以资助其他研究人员的工作。这创建了一个QuanQiu科学家社区，他们贡献和获取Reagent for the Greater Good，以加速他们自己的研究以及整体科学进步。

2018 年，Kerafast 与[Absolute Antibody](#)合并，后者是一家总部位于英国的公司，其愿景是为所有研究人员提供重组抗体技术。[此次合并](#)将两家公司聚集在一起，共同致力于改善科学界可用的研究工具的选择。

品牌标识



产品关键词

- [kerafast抗体ED2003](#)
- [kerafast 抗体](#)
- [kerafast国内代理商](#)
- [kerafast](#)
- [kerafast 代理](#)
- [kerafast细胞](#)
- [kerafast抗体代理](#)
- [kerafast代理商](#)
- [kerafast品牌](#)
- [kerafast代理](#)
- [kerafast细胞代购kerafast品牌代理](#)
- [kerafast华北代理](#)
- [美国kerafast公司](#)
- [kerafast公司](#)
- [进口kerafast代理](#)
- [kerafast丁香通](#)
- [kerafast中国代理](#)
- [kerafast官网](#)
- [kerafast抗体](#)
- [kerafast专业代理](#)

一键获取大包装优惠报价

- 无 -

选择您的报价场景

- 【我们直接使用】需要优惠报价、大包装规格、货期 -- ---->[报价默认含增值税13%发票；尽量提供货号、规格、需求数量]
- 【需要技术文档】产品说明书、COA、MSDS、手册 -- ---->[默认提供说明书或者COA，特别技术指标要求请下面填入详细描述]
- 【我帮客户找货】需要优惠报价、大包装规格、货期 -- ---->[报价默认含增值税13%发票]
- 【推荐替代产品】需要优惠报价、大包装规格、货期 -- ---->[提供替代产品的价格，默认含增值税13%发票]
- 【我能原厂直采】请只提供代理进口清关服务的报价 -- ---->[适合只需要进口许可证代办服务、清关服务的专业级买家，独立服务]
- 【其它报价场景】

请输入您的情况与报价要求

报价要求详细描述

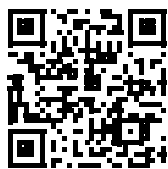
【如有请填写;若无留空即可】按10KG、25L大量采购的时候，是否可

贵单位贵姓

接受报价的E-mail

马上发我报价

手机扫描二维码阅读本页



可能感兴趣的内容

[NR-51675_宫本疏螺旋体,HT31\(细菌\)](#)

2022-04-01

[NR-14984结核分枝杆菌,CDC1551转座子突变体419\(MT3240,Rv3152\)\(突变细菌\)](#)

2022-04-01

[NR-45946金黄色葡萄球菌,RN4220\(细菌\)](#)

2022-04-01

[Cy5 NHS酯,25毫克](#)

2021-12-21

[mRNA疫苗和药物: 癌症免疫治疗的新宠儿](#)

2024-09-22

[MRA-133B_Anophelesalbimanus,STECLA,BulkFrozen\(Vectors\)](#)

2022-04-01

[NR-43861结核分枝杆菌,KT-0076\(细菌\)](#)

2022-04-01

[研究解析苹果对连作障碍抗性的分子机制](#)

2024-10-20

[EF K313R\(炭疽水肿因子突变体\(EF-A K313R\)\)](#)

2021-12-21

[NR-47830金黄色葡萄球菌亚种.金黄色葡萄球菌、JE2、转座子突变体NE1287\(SAUSA300_1216\)\(突变细菌\)](#)

2022-04-01

[NR-2328_日本脑炎病毒,782219\(病毒\)](#)

2022-03-31

[流感病毒传染性X-361A\[H3N2\]21/190](#)

2024-05-19

[NR-51473来自寨卡病毒的基因组RNA,DAKAR41524\(核酸\)](#)

2022-04-01

[Hank's平衡盐溶液 \(BZ261\) 1000ml](#)

2021-12-13

[NR-18483结核分枝杆菌、CDC1551、转座子突变体2373\(MT0475、Rv0459\)\(突变细菌\)](#)

2022-04-01

[人工模拟合成汗液汗水, AATCC TM15 SweatpH 4.3含防腐剂 \(BZ136\) 100ml](#)

2021-12-13

[MRA-1256多克隆抗恶性疟原虫卤酸脱卤酶样糖磷酸酶\(PfHAD1\)\(抗血清,兔\)\(多克隆抗血清\)](#)

2022-04-01

[NR-17940结核分枝杆菌、CDC1551、转座子突变体954\(MT1142、Rv1111c\)\(突变细菌\)](#)

2022-04-01

[2024 06 27 HackerNews](#)

2024-06-25

[NR-12281甲型流感病毒,A/所罗门群岛/3/2006\(H1N1\)\(病毒\)](#)

2022-04-01